

## تحليل الوراثي للمورث *Burkholderia cepacia* complex 16S rRNA لأنواع المغزولة من مصادر سريرية مختلفة

إسراء غانم حازم السمّاك

قسم علوم الحياة / كلية العلوم / جامعة الموصل

حازم محمد ابراهيم الجرجري

مركز صحي فايدة/ دائرة صحة نينوى/ وزارة الصحة

## المُلْخَص

جمعت 250 عينة مرضية من مصادر سريرية مختلفة للمرضى من كلا الجنسين للفترة من شرين الأول 2021 ولغاية ايار 2022، استحصلت هذه العينات من مستشفيات عدة في مدينة الموصل (مستشفى الجمهوري التعليمي، ومستشفى السلام التعليمي، ومستشفى ابن سينا التعليمي، ومركز الموصل الخصصي للحروق والجراحة التجميلية، ومركز صحي فايدة). بلغ عدد العينات التي لم تظهر أي نمو بكتيري 47 عينة من مجموع 250 عينة وبنسبة 18.8% يقابلها 203 عينة وبنسبة 81.2% للعينات التي أظهرت نمواً بكتيرياً على وسط اكار Oxidation Fermentation Polymyxin Bcc (OFPBL) Bacitracin Lactose Agar على انها تابعة وبلغت نسبة العزل 7.2% من إجمالي 250 عينة مرضية، شملت (6) 2.4% من الحروق، (4) 1.6% من الجروح، (3) 1.2% من الادارات، (3) 1.2% من قرحة القدم السكرية، (2) 0.8% من القشع. امتازت عزلات Bcc على انتاج عوامل الضراوة منها انزيم البيريز، انتاج الطبقة الهلامية، انتاج الغشاء الحيوي، انتاج انزيم الجيلاتينيز وانتاج الهيمولايسين حيث بلغت النسب لعدد العزلات المنتجة لها 21 (21%)، 21 (100%)، 21 (100%)، 21 (100%) و(47.6%) على التوالي.

استخدم البادئ العام rRNA 16S في التخخيص الجزيئي لعدد 21 عزلة مختصة مظهرياً؛ إذ ظهرت الحزم مقارنة مع الدليل الحجمي بوزن جزيئي 1300 زوج قاعدي قورنت نتائج تحديد التتابعات لهذه العزلات مع تسلسل المورث للعزلات القiliابية المثبتة في اداة البحث سلسالات القواعد النكليويتية ضمن الا Basic Local Alignment Search Tool (BLAST) (NCBI)National Center for Biotechnology Information عند مقارنة نتائج التتابعات ؛ إذ شخصت العزلات على أنها تعود إلى *Burkholderia cepacia* complex وبنسب تشابه تراوحت بين 85-98%. تم الحصول على مخطط شجري توزعت فيه السلالات التابعة لمجموعة BCC ضمن خمسة عناقيد على عزلة واحدة ارتبطت عند 95% بالعنقود A وعند نسبة تشابه 97.4% للعنقود B وبنسبة A,B,C,D,E تشابه 97.8% للعنقود C، وعند مستوى تشابه 97.6% للعنقود D بينما شمل العنقود E عزلة واحدة ارتبطت عند 95% باستخدام طريقة العدل غير الموزون UPGMA وبرنامج Mega7، كما سجلت السلالتين HE14 وHE2 ضمن بنك الجينات وعند الرقم التسلسلي OP218012 و OP218010 على التوالي. تبين أن هذه البكتيريا مقاومة للعديد من المضادات الحيوية إلا أنها أبدت نوعاً من الحساسية تجاه المضاد الحيوي الميروبينيم. كما توافق مقاومة البكتيريا المتعددة للمضادات الحيوية مع امتلاكها لمضخات الدفق efflux .pump

الكلمات الدالة: BCC, QFPBL, 16S rRNA, BLAST

## المقدمة

مجموعة *Burkholderia cepacia complex* (Bcc) عبارة عن بكتيريا عصوية الشكل سالبة لصبغة كرام، غير مكونة للسبورات، متحركة موجبة للكتاليز وغير مخمرة للللاكتوز (Alnasrawy and AL-Aammar, 2021) سلالات *Burkholderia cepacia* (Bcc) تضم أنواع تظهر تشابهاً عالياً في التسلسل لمورث 16S rRNA، ومنها النوع *Burkholderia cepacia* (Bcc) تضم Bcc أكثر من 24 نوعاً متقاربة وهي انتهازية ممرضة وغالباً ما تكون مكتسبة من المستشفيات (Kwayes et al., 2022) nosocomial origin (Horinouchi et al., 2010) وتوصف بأنها ملوثات رئيسية للمستحضرات الصيدلانية المعقمة ومنها الأدوية والمحاليل الوريدية والمستحضرات الصيدلانية منها بخاخات الأنف، والمنتجات الذائية في الماء، وغسول الفم، والمعقمات وهي المسببة للعديد من حالات نقشى عدوى المستشفيات المسجلة على مدى العقود الماضية (Burkholderia cepacia complex) (Moehring et al., 2014; Rastogi et al., 2019) تسبب التهابات مجرى الدم bloodstream infections والالتهاب الرئوي Pneumonia والتليف الكيسي Cystic Fibrosis والتهاب المسالك البولية والمفاصل (Chang et al., 2021). تمتلك عوامل ضراوة تمكناها من الاستعمار والعدوى الناجم عن مقاومتها الواسعة للمضادات الحيوية، وأكثر الاشخاص المعرضين للإصابة هم الراقدون في وحدات العناية المركزة لفترات طويلة ومستخدمي جهاز التنفس الصناعي mechanical ventilation، والأجهزة داخل الأوعية الدموية intravascular devices، والاشخاص الذين يعانون من نقص في المناعة immunocompromised host (Lara-Oya, 2022).

وتعزل أيضاً من مجموعة متنوعة من المصادر البيئية، ليس لها متطلبات غذائية محددة ويمكن أن تعيش لأشهر في الماء والأحواض والمحاليل المطهرة (الكلورهيكسيدين والأمونيوم الرباعي والبوفيدون اليودي Povidone-iodine)، و (Wisplinghoff, 2017) يمكن أن تنمو المستعمرات على وسط أكار الماكونكي MacConkey والأوساط الانتقائية Oxidation Fermentation Polymyxin Bacitracin Lactose Agar (OFPBL) *P.cepacia* agar (PCA) مثل. تعد مجموعة *B.cepacia* مقاومة للأمينوغликوزيد aminoglycoside والبوليسيسين polymyxin وأيضاً مجموعة Base Beta lactam (Wanger et al., 2017) تمتلك مجموعة Bcc مقاومة طبيعية للعديد من العوامل المضادة البيتاكتم لاكتام (Sfeir, 2018) efflux pump للميكروبات بما في ذلك polymyxin، carboxypenicillins، aminoglycosides، ولا بسب نشاط مضخة الدفق.

هدف هذا البحث الى تحديد العلاقة بين العزلات بدراسة تحليـل تـابـع 16S rRNA مـقارـنة بالـصـفات الـمـظـهـرـية.

## مواد العمل وطرائقه

تم زراعة المسحات المستحصلة على وسط الماكونكي MacConkey ووسط OFPBL Agar الاختياري لبكتيريا *Burkholderia cepacia* وكذلك وسط اكار الدم Blood Agar وحضنته هوائياً في درجة حرارة 37 °C لمدة 24-48 ساعة (Tille, 2015) فُحصت العزلات مجهرياً للحاظة اشكال الخلايا البكتيرية وتقاعدها مع صبغة كرام Riedel et al., (2019). أجريت مجموعة من الاختبارات الكيموحيوية اللازمة لتشخيص العزلات البكتيرية قيد الدراسة منها الاوكسديز والكتاليز وجموعة اختبارات IMViC والحركة (MacFaddin, 2000) كذلك تم التحري عن انتاج سلالات Bcc لبعض عوامل الضراوة منها انتاج انزيم الاليوز (Brown et al., 2014)، تسبيـلـ الجـيلـاتـينـ (Krieg, 1984)، الهـيمـولـاـسيـنـ (Buxton, 2005)، الطـبـقـةـ الـهـلامـيـةـ من خـلـالـ زـرـاعـةـ العـزـلـاتـ عـلـىـ أـطـبـاقـ أـكـارـ الكـونـغـوـ الـاحـمـرـ (Abbey et al., 2021) (Congo Red Agar). وتكوين الغشاء الحيوي باستخدام انبوب الاختبار (Kirmusaoğlu, 2019).

### التشخيص الجزيئي

تم استخدام عدة الاستخلاص الخاصة بشركة Geneaid لبكتيريا *Burkholderia cepacia* DNA لاستخلاص الا-DNA استخدم البوادىء العامة لمورث 16S rRNA لتحديد تتابعات العزلات قيد الدراسة كما في (الجدول 1)؛ إذ جهزت هذه البوادىء من شركة Alpha DNA الكندية وبشكل مجفف بماء مقطر مزال الايونات Deionized Water أذيب البدائى بماه مقطر مزال الايونات للحصول على تركيز 100 μM كمحول خزين يخفف لاحقاً للحصول على تركيز 10 بيكمول.

**الجدول 1:** البوادىء العامة لتحديد تتابعات العزلات قيد الدراسة

| المصدر                | الناتج<br>(زوج قاعدى) | تابع البدائى<br>Primer sequence 5'-3'        | البدائى  |
|-----------------------|-----------------------|--|--|
| Cotârlet et al., 2010 | 1300                  | AGAGTTTGATCCTGGCTCAG<br>ATGGACCAGGCCACGATTTC | 16S rRNA (F) Universal<br>16S rRNA (R) Universal |

حضر مزيج تفاعل سلسلة البلمرة كما موضح في (الجدول 2).

**الجدول 2:** مكونات مزيج تفاعل انزيم البلمرة PCR reaction mixture وحجمها

| الحجم / مايكروليتر | مزيج التفاعل                            |
|--------------------|---|
| 3 مايكروليتر       | مستخلص الحامض النووي بتركيز 50 نانوغرام |
| 10 مايكروليتر      | محول مزيج التفاعل Green master mix      |
| 1 مايكروليتر       | البدائى الأمامي forward Primer          |
| 1 مايكروليتر       | البدائى الخلفي reverse Primer           |
| 10 مايكروليتر      | ماء منزوع الايونات                      |
| 25 مايكروليتر      | المجموع                                 |

بعد إكمال تحضير مزيج تفاعل سلسلة البلمرة مُرجمت بعنابة بجهاز المازج vortex لمدة 10 ثوان. نقلت الأنابيب لجهاز PCR لإجراء الدورات الحرارية PCR thermocycler condition وحسب البرنامج في (الجدول 3).

**الجدول 3:** الظروف المستعملة في جهاز المضخم الحراري PCR لتضخيم المورث 16S العام

| عدد الدورات | الوقت    | الحرارة | المرحلة                            | ت |
|-------------|----------|---------|------------------------------------|---|
| 1           | 6 دقيقة  | 95      | النسخ الاولى Initial Denaturation  | 1 |
| 35          | 45 ثانية | 95      | النسخ Denaturation                 | 2 |
|             | 1 دقيقة  | 55      | الارتباط Annealing                 | 3 |
|             | 1 دقيقة  | 72      | الاستطالة Extension                | 4 |
| 1           | 5 دقيقة  | 72      | الاستطالة النهائية Final Extension | 5 |

(Cotârlet et al., 2010)

أجري الترحيل الكهربائي باستخدام هلام الاكاروز بنسبة 2% وذلك لقراءة نتيجة تفاعل سلسلة البلمرة PCR product بإذابة 1 غم من الاكاروز Agarose في 50 ملليلتر من محلول الا-TBE buffer الداوى بتركيز 1X.

استخدم سلم القياس 100 PCR ladder لقياس ناتج PCR ووضع في الحفارة الأولى. بعد اكتمال عملية التحميل، غُمر هلام الاكاروز باستخدام محلول TBE Buffer الداري بتركيز 1X وغلق غطاء الترхيل وبعدها شغل جهاز الترخيل باستخدام تيار 80 امبير و 100 فولت لمدة ساعة واحدة.

فحص الهلام الحاوي على ناتج PCR باستخدام مصدر الأشعة فوق البنفسجية U.V light source. تم ارسال ناتج تفاعل PCR للمورث 16S rRNA الى شركة Macrogen في كوريا الجنوبية وذلك لأجراء تسلسل الحامض النووي باستخدام جهاز AB DNA sequencing system شخصت العزلات مقارنة بالعزلات ضمن موقع NCBI.

تم تحديد العلاقة بين السلالات قيد الدراسة وذلك من خلال تحليل الشجرة الوراثية Phylogenetic tree analysis باستخدام برنامج Unweighted Pair-Group Average Method وتعنقد cluster بطريقة المعدل غير الموزون (Sneath and Sokal, 1973; Tamura *et al.*, 2004; Kumar, 2016).

اختبرت حساسية العزلات البكتيرية بطريقة الانتشار بالأقراص اعتماداً على طريقة Bauer *et al.*, 1966 و CLSI (2021)، و TE(10), CN(10), C(10), LEV(5), CAZ(30), MEM(10), SXT(1.25+23.75)، و تضمنت المضادات NE(10), VA(30) من شركة Bioanalyse (Turkey).

تم التحري المظاهري عن وجود مضخات الدفق efflux pump في العجلة الخشبية pump باستخدام طريقة المحورة ethidium bromide - agar cartwheel method (Al-Saadi and Abdullah, 2019).

### النتائج والمناقشة

شخصت لاحقاً 18 عزلة تابعة لمجموعة Bcc من مجموع 250 عينة من خلال عملية التشخيص بالاعتماد على الصفات المظاهرية للعزلات المزروعة حيث استبعدت العزلات النامية على وسط الماكونكي المخمرة لللاكتوز وتم الاحتفاظ بالعزلات البكتيرية غير المخمرة لللاكتوز وكذلك التي اعطت نمو على الوسط الانتقائي OFPBL الخاص بها وتم اجراء الفحص المجهري بالإضافة للاختبارات الكيموحيوية الاولية وهما فحص الاوكسديز والكتاليز وكما موضح في (الجدول 4) حيث بلغت نسبة العزلات التي تم الحصول عليها 7.2% من إجمالي 250 عينة مرضية، شملت (6) 2.4% من الحروق، (4) 1.6% من الجروح، (3) 1.2% من الادار، (3) 1.2% من قرحة القدم السكرية، (2) 0.8% من القشع. نسبة 61% من العزلات كانت من المرضى الإناث بينما النسبة 39% من المرضى الذكور. ايضاً تم الحصول على 3 عزلات جاهزة ومشخصة من احدى المختبرات الاهلية (عزلتان من مرضى مصابين بتجرثيم الدم Bacteremia عزلة من السائل النخاع الشوكي CSF لمريض مصاب بالتهاب السحايا (meningitides).

## الجدول 4: نسبة عزل Bcc اعتماداً على نوع العينة

| نسبة اعتماداً على نوع العينة    | نسبة والعدد اعتماداً على نوع العينة |         | نسبة العزل إلى العدد الكلي للعينات | عدد العينات Bcc | عدد العينات | نوع العينة                             | ت |
|---------------------------------|-------------------------------------|---------|------------------------------------|-----------------|-------------|--|---|
|                                 | إناث                                | ذكور    |                                    |                 |             |  |   |
| % 33                            | % 22 (4)                            | % 11(2) | % 2.4                              | 6               | 75          | حروق Burns                             | 1 |
| % 22                            | % 11(2)                             | % 11(2) | % 1.6                              | 4               | 63          | حروق Wounds                            | 2 |
| % 17                            | % 6 (1)                             | % 11(2) | % 1.2                              | 3               | 17          | قرحة القدم السكرية Diabetic Foot Ulcer | 3 |
| % 17                            | % 11 (2)                            | % 6 (1) | % 1.2                              | 3               | 25          | ادرار Urine                            | 4 |
| % 11                            | % 11(2)                             | % 0 (0) | % 0.8                              | 2               | 20          | قشع Sputum                             | 5 |
| % 0                             | % 0                                 | % 0     | % 0                                | 0               | 81          | مسحة حلق Throat swab                   | 6 |
| % 0                             | % 0                                 | % 0     | % 0                                | 0               | 14          | سائل النخاع الشوكي Cerebrospinal Fluid | 7 |
| % 0                             | % 0                                 | % 0     | % 0                                | 0               | 18          | عينات ادرار من مرضى الفشل الكلوي       | 8 |
| % 100                           | % 61                                | % 39    | % 7.2                              | 18              | 502         | العدد الكلي Total No.                  |   |
| عزلتان مشخصة من مختبر خارجي     |                                     |         |                                    |                 |             | Blood                                  |   |
| عزلة واحدة مشخصة من مختبر خارجي |                                     |         |                                    |                 |             | سائل النخاع الشوكي Cerebrospinal Fluid |   |

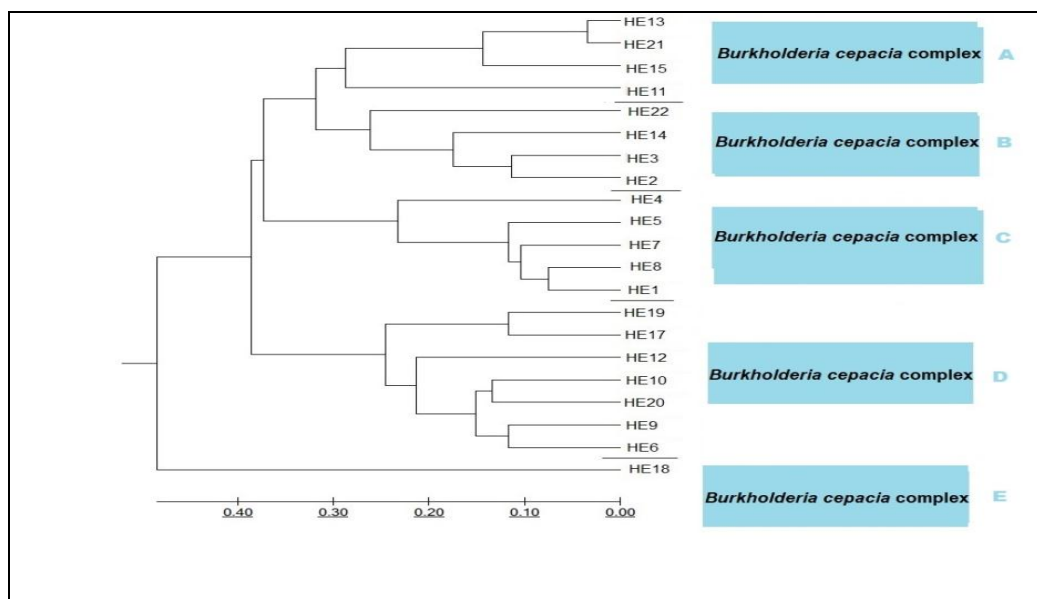
استخدم البادي العام 16S rRNA في التشخيص الجزيئي للعزلات الـ 21 التي تم تشخيصها مظاهرياً، إذ ظهرت الحزم مقارنة مع الدليل الحجمي بوزن جزيئي 1465 زوج قاعدي وكما موضح في الشكل (1).



الشكل 1: نواتج تضخيم تفاعل PCR لعزلات Bcc للمورث 16S rRNA عند ناتج 1465 زوج قاعدي، باستخدام الدليل الحجمي M (زوج قاعدي).

قورنت نتائج تحديد التتابعات لهذه العزلات مع تسلسل المورث للعزلات القياسية المثبتة في اداة Basic Local Alignment Search Tool (BLAST) ضمن الا NCBI عند مقارنة نتائج التتابعات؛ إذ شخصت العزلات على أنها تعود إلى *Burkholderia cepacia complex* وبنسب تشابه تراوحت بين 85 - 98%.

توزعت السلالات التابعة لمجموعة *Burkholderia cepacia complex* ضمن خمسة عناقيد A, B, C, D, E ضمن خمسة عناقيد كما موضح في الشكل (2) عند نسبة تشابه 97% للعنقود A وعند نسبة تشابه 97.4% للعنقود B وبنسبة تشابه 97.8% للعنقود C، وعند مستوى تشابه 97.6% للعنقود D بينما شمل العنقود E على عزلة واحدة ارتبطت عند 95% باستخدام طريقة المعدل غير الموزون UPGMA وبرنامج 7 Mega؛ إذ أظهرت هذه السلالات تغيراً كبيراً في صفاتها المظهرية والموضحة في (الجدول 5)، كما سجلت السلالة HE2 وHE14 ضمن بنك الجينات وعند الرقم التسلسلي OP218010 و OP218012 على التوالي.



الشكل 2: العلاقة التطورية للعزلات قيد الدراسة باستخدام طريقة المعدل غير الموزون  
Mega 7 برنامج ضمن بـ

اخضعت جميع عزلات Bcc (21) عزلة في هذه الدراسة لفحص الحساسية تجاه عدد من المضادات الحيوية وبالنسبة 9 أنواع مختلفة التي تعود لعدة أصناف، وكانت النتائج حسب (الجدول 5).

فيما كانت عزلة واحدة فقط حساسة لمعظم المضادات المستخدمة في هذه الدراسة. والشكل (3) يبيّن مقاومة عزلات Bcc لمضادات حيوية مختلفة مستخدمة في الدراسة.



الشكل 3: مقاومة عزلات Bcc للمضادات الحيوية المستخدمة في الدراسة

أظهرت عزلات Bcc في العناقيد الخمسة ضمن المخطط نسبة عالية من المقاومة للمضاد الحيوي chloramphenicol، إذ بلغت 80–100% وهي مقاربة لدراسة Hamad (2018) التي أشارت إلى أن مقاومة هذا المضاد بلغ 74.3% في حين كانت مغايرة لما ذكرته دراسة محلية للباحث Abbas (2017) الذي ذكر فيها أن نسبة الحساسية لهذا المضاد بلغت 86.6%. أما المضاد الحيوي Trimethoprim/Sulfamethoxazole فكانت نسبة مقاومة العزلات في العنقود A و E 100% بينما كانت العنقود D 71.5% وهذه النسبة خالفت الدراسة السابقة للباحث Abbas, 2017 والتي ذكر فيها أن نسبة الحساسية لهذا المضاد بلغت 73.3% بينما كانت مقاربة للعناقيد B و C والتي كانت 50% و 40% على التوالي. قاومت عزلات Bcc في العناقيد A و B بنسبة 100% لكل عنقود المضاد الحيوي Levofloxacin بنسبة بينما كانت 20%，Levofloxacin 57% للعنقودين C و D على التوالي و في دراسة (Abbas, 2017) كانت مقاومة بنسبة 73.3% بينما في دراسة (Shukla *et al.*, 2018) نسبة مقاومة عزلات Bcc بلغت 46.5%，أما في دراسة (Nguema *et al.*, 2021) فكانت الحساسية لهذا المضاد 100%. قاومت عزلات Bcc مضاد Ceftazidime في العناقيد A و B و C و D بنسبة 50% 75%，50% 43%，50% 43% على التوالي غير أنها كانت في دراسة هندية (Shukla *et al.*, 2018) بلغت 27.9%. كذلك في هذه الدراسة فإن مقاومة العزلات للمضاد الحيوي Gentamicin كانت بنسبة 100% 20%，100% 43%，100% 43% للعناقيد A و B و C و D على التوالي أما في دراسة محلية للباحث (Hamad, 2018) كانت النسبة 42.1% أما المضاد الحيوي Tetracycline في الدراسة الحالية فكانت نسبة مقاومة العزلات عالية بلغت 80–100% لجميع العناقيد في المخطط الشجري وهي مطابقة لدراستين محليتين أشارتا إلى المقاومة بنسبة 100% (Hasan, 2017; Hamed, 2015). وفي الدراسة الحالية كانت أعلى حساسية للعزلات تجاه المضاد الحيوي Meropenem؛ إذ بلغت المقاومة 100% لسلالات العنقود A فيما كانت 0% للعنقودين B و E على التوالي أما العنقودين C و D وكانت النسب 20–43% على التوالي حيث كانت في دراسة هندية حساسية عزلات Bcc فيها لهذا المضاد 48.8%. وفي دراسة Hamad (2018) كانت نسبة الحساسية لهذا المضاد 94.7% (Shukla *et al.*, 2018).

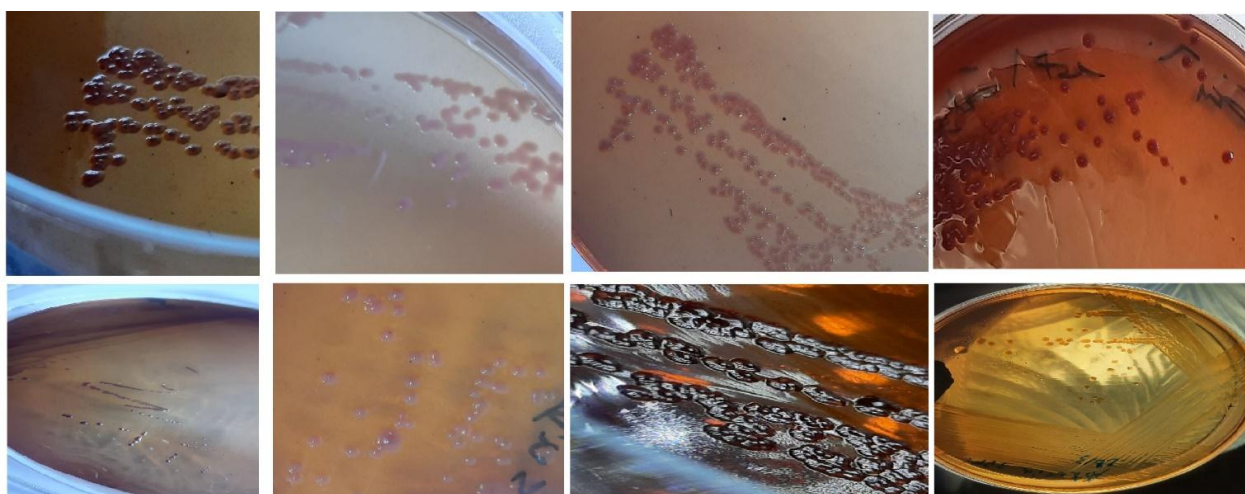
**الجدول 5: الصفات المظهرية لعزلات Bcc ضمن العناقيد للشجرة التطورية الشكل (2)**

| العنقدي      |       |     |     |      | مصادر العزل  |
|--------------|-------|-----|-----|------|--|
| E            | D     | C   | B   | A    |  |
| عدد السلالات |       |     |     |      |  |
| 1            | 7     | 5   | 4   | 4    |  |
| %0           | %28.5 | %40 | %0  | % 50 | الحروق   |
| %0           | %28.5 | %0  | %25 | %25  | الجروح   |
| %0           | %14.5 | %20 | %25 | %0   | فرحة القدم السكري                                  |
| %100         | %0    | %0  | %25 | %25  | الادارات   |
| %0           | %28.5 | %0  | %0  | %0   | القشع  |
| %0           | %0    | %0  | %25 | %0   | سائل النخاع الشوكي                                 |
| %0           | %0    | %40 | %0  | %0   | دم   |
| العنقدي      |       |     |     |      | الصفات الشكلية                                     |
| E            | D     | C   | B   | A    | مستعمرات Bcc على وسط الماكونكي                     |
| عدد السلالات |       |     |     |      |  |
| 1            | 7     | 5   | 4   | 4    |  |
| %100         | %14   | %0  | %25 | %50  | مستعمرات وردية فاتحة مرتفعة<br>ملساء منتظمة الحواف |
| %100         | %0    | %0  | %75 | %50  | مستعمرات وردية لزجة مرتفعة ذات<br>حافات منتظمة     |

|                     |                               |            |            |            |  |
|---------------------|-------------------------------|------------|------------|------------|--|
| %0                  | %0                            | %40        | % 0        | % 0        | مستعمرات مسطحة وردية فاتحة ذات حافات غير منتظمة                            |
| %0                  | %43                           | %60        | % 0        | % 0        | مستعمرات وردية الى بنفسجية لعامة ذات حافات منتظمة ومسطحة                   |
| %0                  | %43                           | %0         | %0         | %0         | مستعمرات وردية لعامة ذات مركز داكن مرتفع وحافات منتظمة                     |
| %100                | %100                          | %100       | %100       | %100       | مستعمرات BCC على وسط اكار دم الانسان                                       |
| %100                | %85.7<br>ملسأء<br>مجعدة %14.3 | %100       | %100       | %100       | مستعمرات بيضاء ملساء<br>مستعمرات OFPBL على وسط BCC<br>مستعمرات صغيرة صفراء |
| <b>العنقيد</b>      |                               |            |            |            | الاختبارات الكيمويوجيّة  |
| E                   | D                             | C          | B          | A          |  |
| <b>عدد السلالات</b> |                               |            |            |            |  |
| 1                   | 7                             | 5          | 4          | 4          |  |
| %100                | %100                          | %100       | %100       | %100       | الاوكسديز  |
| %100                | %100                          | %100       | %100       | %100       | الكتاليز   |
| %0                  | 57.1%                         | %60        | %75        | %100       | الجيلاتينيز  |
| %100                | %100                          | %100       | %100       | %100       | البيوريز   |
| %0                  | %0                            | %0         | %0         | %0         | الاندول  |
| %0                  | %0                            | %0         | %0         | %0         | المثيل الاحمر  |
| %0                  | %0                            | %0         | %0         | %0         | فركاس برسكاور  |
| %100                | %71.5                         | %100       | %100       | %75        | استهلاك السترات  |
| %100                | %100                          | %100       | %100       | %100       | الطبيعة الهمامية   |
| %100                | %100                          | %100       | %100       | %100       | تكوين الغشاء الحيوي  |
| %100                | %100                          | %100       | %100       | %100       | الحركة   |
| %100<br>%0          | %71.5<br>%28.5                | 100%<br>%0 | %100<br>%0 | %75<br>%25 | TSI<br>K/K<br>K/A  |
| %100                | %100                          | %100       | %100       | %100       | H <sub>2</sub> S   |
| %100                | %100                          | %100       | %100       | %100       | الراحة<br>SMELL Dirt like  |
| %100                | %100                          | %100       | %50        | %100       | النمو عند 42 °م  |
| % 0                 | %71.5                         | %20        | %0         | %50        | انتاج الهيمولايßen   |
| <b>العنقيد</b>      |                               |            |            |            | المقاومة للمضادات الحيوية<br>mg/disc                                       |
| E                   | D                             | C          | B          | A          |  |
| <b>عدد السلالات</b> |                               |            |            |            |  |
| 1                   | 7                             | 5          | 4          | 4          |  |
| % 0                 | %43                           | %20        | %0         | %100       | MEM10  |
| %100                | %71.5                         | %40        | %50        | %100       | SXT 25   |
| % 0                 | %43                           | %0         | %75        | %50        | CAZ30  |

|  |          |          |          |          |  |
|--|----------|----------|----------|----------|--|
| %100   | %57      | %20      | %100     | %100     | LEV5   |
| %100   | %100     | %80      | %100     | %100     | C10  |
| %100   | %100     | %80      | %100     | %100     | TE10   |
| %0   | %43      | %20      | %100     | %100     | CN10   |
| %100   | %100     | %80      | %100     | %100     | N10  |
| %100   | %100     | %100     | %100     | %100     | VA30   |
| <b>العنقدي</b>   |          |          |          |          | <b>مضخة الدفق</b>  |
| <b>E</b>   | <b>D</b> | <b>C</b> | <b>B</b> | <b>A</b> | <b>تراكيز صبغة بروميد الأثيديوم المستعملة (مايكروغرام/مليتر)</b> |
| <b>عدد السلالات</b>  |          |          |          |          |  |
| <b>1</b>   | <b>7</b> | <b>4</b> | <b>4</b> | <b>4</b> |  |
| %100   | %100     | %60      | %100     | %100     | 5  |
| %100   | %43      | %0       | %50      | %50      | 10   |
| %0   | %0       | %0       | %0       | %0       | 15   |
| %0   | %0       | %0       | %0       | %0       | 20   |
| %0   | %0       | %0       | %0       | %0       | 25   |
| <b>100% موجبة للفحص او مقاومة للمضاد، 0% سالبة للفحص او حساسة للمضاد</b> |          |          |          |          |  |

اظهرت العزلات التابعة لمجموعة Bcc تغايرًا كبيرًا في صفاتها المظهرية على وسط الماكونكي وكما موضح في (الجدول 5) والشكل (4).



الشكل 4: مستعمرات Bcc على وسط الماكونكي

#### الاستنتاجات

التخليص عن طريق تحليل تتابع مورث 16S rRNA العام مفيد لتشخيص *Burkholderia cepacia* على مستوى المجموعة (Bcc) وايجاد العلاقة باستخدام الشجرة التطورية تبين أن هذه البكتيريا مقاومة للعديد من المضادات الحيوية إلا أنها أبدت نوعاً من الحساسية تجاه المضاد الحيوي Meropenem.

### المصادر

- Abbas, A.F. (2017). Antibiotic susceptibility patterns of *Burkholderia cepacia* isolated from different clinical specimens. *J. Babyl. University Pure Appl. Sci.*, **25**(2), 461-72.
- Abbey, S.D.; Wachukwu, C.K.; Nwokah, E.G.; Horsfall, S.J. (2021). Extended-spectrum  $\beta$ -lactamase enzymes (ESBLs) and slime production of some gram-negative bacilli isolated from human, animal and environmental sources in Port Harcourt, Nigeria. *South Asian J. Research in Microbiol.*, **11**, 24-34.
- Al-Saadi, Z.H.; Abdullah, R.M. (2019). Phenotypic and molecular detection of *Escherichia coli* efflux pumps from Ute patients. *Biochem. and Cellul. Arch.*, **19**(1), 2371-2376.
- Alnasrawy, W.D.; AL-Aammar, M.H. (2021). A molecular study with A comparison of the odds of diagnostic methods for *Burkholderia cepacia* bacteria isolated from patients with diabetic foot ulcer. *Indian J. Forensic Medic. Toxicol.*, **15**(3), 4603.
- Bauer, A.W.; Kirby, W.M.; Sherris, J.C.; Turck, M. (1966). Antibiotic susceptibility testing by a standardized single disk method. *American J. Clin. Pathol.*, **45**(4), 493–496.
- Chang, T.H.; Chuang, Y.C.; Wang, J.T.; Sheng, W.H. (2021). Clinical characteristics and outcomes of non-cystic fibrosis patients with *Burkholderia cepacia* complex bacteremia at a medical center in Taiwan. *J. Microbiol., Immunol. and Infection.*, S1684-1182(21), 00198-5. Advance online publication. <https://doi.org/10.1016/j.jmii.2021.09.009>
- Clinical and Laboratory Standards Institute. (2021). “M100-S31. Performance Standards for Antimicrobial Susceptibility Testing.” 31<sup>st</sup> ed. Clinical and Laboratory Standards Institute, Malvern, PA.UK.
- Cotârlet, M.; Bahrim, G.; Negoita, T.; Stougaard, P. (2010). Comparative study of establishing the efficiency of some methods for chromosomal DNA extraction from cold adapted Streptomyces. *Romanian Biotechnol. Lett.*, **15**(4), 5482-5486.
- Hamad, M.O. (2018). Clinical study of *Burkholderia cepacia* isolated from body infections. *Plant Archives.*, **18**(1), 65-72.
- Hasan, R. (2017). Isolation and characterization of *Burkholderia cepacia* from respiratory infections. *Internat. J. Appl. Biol. and Forens.*, **1**(2), 31-34.
- Horinouchi, S.; Ueda, K.; Nakayama, J.; Ikeda, T. (2010). “Cell-to-Cell Communications Among Microorganisms”. In: Mander, L., Liu, H.W. (eds). Comprehensive natural products II, vol. 4. The Elsevier Science., Amsterdam, The Netherlands. pp. 283–337. <https://doi.org/10.1016/B978-008045382-8.00098-8>.
- Kirmusaoğlu, S. (2019). The methods for detection of biofilm and screening antibiofilm activity of agents. In (Ed.), antimicrobials, antibiotic resistance, antibiofilm strategies and activity methods. *InTech Open.*, <https://doi.org/10.5772/intechopen.84411>.
- Krieg, N.R. (1984). Enrichment and isolation: in manual of methods for general bacteriology. *J. Gene. Microbiol.*, **54**, 143-153.
- Buxton, R. (2005). “Blood Agar Plates and Hemolysis Protocols. American Society for Microbiology”. Washington, DC USA. Available online at: <https://www.asm.org/getattachment/7ec0de2b-bb16-4f6e-ba07-2aea25a43e76/protocol-2885.pdf>
- Kumar, S.; Stecher G.; Tamura K. (2016). MEGA7: molecular evolutionary genetics analysis version 7.0 for bigger datasets. *Molec. Biol. and Evolut.*, **33**, 1870-1874.
- Kwayess, R.; Al Hariri, H.E.; Hindy, J.R.; Youssef, N.; Haddad, S.F.; Kanj, S.S. (2022). *Burkholderia cepacia* infections at sites other than the respiratory tract: A large case series from a Tertiary Referral Hospital in Lebanon. *J. Epidemiol. and Global Health.*, **12**(3), 274-280.

- Lara-Oya, A. (2022). *Stenotrophomonas, Burkholderia* and other related microorganisms. *J. Encycloped. Infection and Immun.*, 656-661.
- Macfaddin, J.F. (2000). "Biochemical Tests for Identification of Medical Bacteria". 3<sup>rd</sup> ed. The Williams and Wilkins co. Baltimore. USA.
- Moehring, R.W.; Lewis, S.S.; Isaacs, P.J.; Schell, W.A.; Thomann, W.R.; Althaus, M.M. (2014). Outbreak of bacteremia due to *Burkholderia contaminans* linked to intravenous fentanyl from an institutional compounding pharmacy. *JAMA Internal Medicine.*, **174**(4), 606-612.
- Nagoba, B.S.; Pichare, A. (2016). "Microbiology and Parasitology PMFU-E-BooK". Elsevier Health Sciences. New York, USA.
- Nguema, S.M.; Nguema, P.D.; Angone, S.A.; Rerambiah, L.K. (2021). Epidemiology of nosocomial bacteremia due to bacteria from the "*Burkholderia cepacia* complex" at Libreville University Hospital Center. *Advances in Microbiol.*, **11**(9), 417-427.
- Rastogi, N.; Khurana, S.; Veeraraghavan, B.; Yesurajan Inbanathan, F.; Rajamani, S. (2019). Epidemiological investigation and successful management of a *Burkholderia cepacia* outbreak in a neurotrauma intensive care unit. *International J. Infectious Diseases: IJID: Official Publication of the International Society for Infectious Diseases.*, **79**, 4-11. <https://doi.org/10.1016/j.ijid.2018.10.008>
- Sfeir, M.M. (2018). *Burkholderia cepacia* complex infections: More complex than the bacterium's name suggest. *J. Infection.*, **77**(3), 166–170. <https://doi.org/10.1016/j.jinf.2018.07.006>
- Shukla, R.; Bilolikar, A.K.; Udayasri, B.; Rani, P. (2018). Antibiotic susceptibility pattern of *Burkholderia cepacia* complex from various clinical samples in a tertiary care center: A one year prospective study. *J. Med. Sci. Res.*, **6**(1), 1-5.
- Sneath, P.H.A.; Sokal, R.R. (1973). "Numerical Taxonomy: The Principles and Practice of Numerical Classification". WF Freeman and Co., San Francisco, USA. 573 p.
- Wanger, A.; Chavez, V.; Huang, R.; Wahed, A.; Dasgupta, A.; Actor, J.K. (2017). "Microbiology and Molecular Diagnosis in Pathology: A Comprehensive Review for Board Preparation, Certification and Clinical practice". Elsevier, USA, pp. 75-117.
- Wisplinghoff, H. (2017). "Pseudomonas spp., Acinetobacter spp. and Miscellaneous Gram-negative Bacilli. In Infectious Diseases". Elsevier, USA. pp. 1579-1599

## **Phylogenetic Analysis of 16S rRNA Gene of *Burkholderia cepacia* Complex Species Isolated from Different Clinical Sources**

**Hazim M. Al Jarjary**

*Fayida Health care Center / Directorate of Health Nineveh/ Ministry of Health*

**Essra Gh. Alsammak**

*Department of Biology/ College of Science/ University of Mosul*

### **ABSTRACT**

Twenty hundred and fifty clinical samples were collected from different clinical sources for patients of both sexes for the period from October 2021 to May 2022. These samples were obtained from several hospitals in Mosul city (Al-Jumhouri Teaching Hospital, Al-Salam Teaching Hospital, Ibn Sina Teaching Hospital, Mosul specialized center for burns and surgery aesthetics and Fayda health center). Out of 250 samples, 47 samples showed no growth at a rate of 18.8%, while 203 samples at 81.2% showed bacterial growth on MacConkey agar medium. The diagnosis was confirmed by using Oxidation Fermentation Polymyxin Bacitracin Lactose Agar medium, 18 isolates were diagnosed as Bcc related and the percentage of isolates obtained reached 7.2% of the total diseased (250), which included 2.4% (6) of burns, 1.6% (4) of wounds, 1.2% (3) of urine,

1.2% (3) of diabetic foot ulcer and 0.8% (2) of sputum. Bcc isolates were characterized by the production of virulence factors, including urease enzyme, slime layer production, biofilm production, gelatinase enzyme production and hemolysin production. With percentages of (100%) 21, (100%) 21, (100%) 21 (100%), (66.7 %) 14 and (47.6%) 10, respectively. The sequencing of 16S rRNA genes were compared with the gene sequences of the references isolates in the Basic Local Alignment Search Tool (BLAST) within the NCBI database. A tree diagram was obtained in which the strains belonging to the Bcc group were distributed into five clusters A, B, C, D, and E at 97% similarity for cluster A, 97.4% similarity for cluster B, 97.8% similarity for cluster C, and at 97.6% similarity for cluster D, while cluster E included one isolate that was associated at 95% by using Mega 7 program and UPGMA method.

The strains HE2 and HE14 were submitted to the GenBank under the accession numbers OP218010 and OP218012, respectively. It was found that these bacteria are resistant to many antibiotics, but they showed a kind of sensitivity to the antibiotic Meropenem. The multi-drug resistance of bacteria also corresponds to their possession of efflux pumps.

**Keywords:** Bcc, OFPBL, 16S rRNA, BLAST.